

نشریه علمی- پژوهشی جغرافیا و برنامه‌ریزی (دانشگاه تبریز)، سال ۱۶، شماره ۳۹، بهار ۱۳۹۱، صفحات ۷۳-۸۸

تاریخ پذیرش نهایی: ۱۳۹۰۰۲۰۷ تاریخ دریافت: ۱۳۸۰۰۵۰۲

## تلیل روند بارشهای سنگین در شهر زنجان

حسین عساکره<sup>۱</sup>

### چکیده

شناخت مشخصات رفتار بارشهای سنگین، فرایند برنامه‌ریزی، طراحی، عمل و مدیریت منابع آب را آسانتر می‌سازد. در منابع موجود تعاریف متعددی از بارشهای سنگین ارائه شده است. از نمایه‌های این نوع بارشها می‌توان به بارش بیشینه و پنج بارش بزرگ در هر سال اشاره نمود. یکی از ویژگیهای بارشهای سنگین، تنوع مکانی و تغییرات زمانی آن است. این ویژگی ضرورت مطالعه این پدیده را با تفکیک زمانی - مکانی بالا محرز می‌سازد. از این رو لازم است مشاهدات این نوع بارشها حداقل از مشاهدات روزانه استخراج گردد. بدین دلیل و به منظور تحلیل بارشهای سنگین زنجان، بارشهای روزانه زنجان طی دوره آماری ۱۹۶۴-۲۰۰۶ استخراج گردید. روند مجموع بارش بیشینه هرسال - سهم آن در بارش سالانه و مجموع پنج بارش بزرگ - و سهم آن در مجموع بارش هر سال براساس روش‌های ناپارامتری برآورد گردید. نتایج تحقیق نشان داد که مشاهدات مورد بررسی در طول دوره آماری و در دو مقیاس سالانه - ماهانه فاقد روند معنیدار هستند. اما بارش بیشینه با دو فاز پر افت و خیز در دوره ۱۹۶۴-۱۹۷۳ و کم افت و خیز در دوره ۱۹۷۴-۲۰۰۶ مشخص می‌شود.

**واژگان کلیدی:** بارش بیشینه، بارش سنگین، پنج بارش بزرگ، روند.



## مقدمه

بارش‌های سنگین، فرایند برنامه‌بریزی، طراحی، عمل و مدیریت منابع آب را متاثر می‌سازد. از این رو فقدان اطلاعات در مورد بازه‌های مربوط به این بارشهای موجب محدودیت فهم و توان پیش‌بینی ما از این پدیده می‌شود (نگ<sup>۱</sup> و همکاران<sup>۲</sup>: 2007). با این وصف برخی براین باورند که تغییرات احتمالی این رخدادها فاقد اهمیت عملی و علمی‌اند. چرا که اعتقاد براین است که عرصه‌های زیستی قادر به سازگاری با تغییرات کوتاه‌مدت می‌باشند. همچنین تغییرات اقلیمی در هر بازه و بر هر عنصر که حادث شود مورد انتظار بوده و خارج از محدوده‌های پیشین نخواهد بود. با این وصف این واقعیت به اثبات رسیده که اقلیم آینده از پیامد تغییرات ممتد و مستمر گذشته و حال تکوین می‌باید به طوری که شرایط نهایی آینده طبیعتاً به اقلیم متفاوت از اقلیم امرزوی منتهی می‌شود (ویگلی<sup>۳</sup>: 2009، 70). از این رو و بنا به ضرورتهای عملی دیگر، مطالعات پرشماری در خصوص بارشهای سنگین در سطح جهانی انجام شده است که به منظور رعایت ایجاز برخی از آنها اشاره می‌شود. بروکس و استنسراد<sup>۴</sup> (2001، 1941) براساس بارشهای ساعتی، بارشهای سنگین ایالات متحده را بررسی کردند. ایشان بارشهای بیش از ۱ اینچ در ساعت، را برای ایالات متحده به عنوان بارش سنگین معرفی نموده‌اند. نتایج تحقیق ایشان گویای افزایش این قبیل بارشهای طی سده اخیر در ایالات متحده هایلوکس و نیکولس<sup>۵</sup> (2000، 153154) روند بارشهای سنگین را در استرالیا برآورد نمودند. ایشان به منظور بررسی تغییر بارشهای فرین سه مشخصه فرین بارش شامل فراوانی فرینهای بالاتر از یک آستانه، شدت و سهم بارش آنها در بارش سالانه را بررسی نمودند. نتایج تحقیق ایشان نشان میدهد که با وجودی که بین مجموع بارش، فراوانی و شدت، همبستگی بالایی وجود دارد اما فرین از روند کاهش برخوردارند. فاولر<sup>۶</sup> و همکاران (2005، 212233) روشن نوین برای برآورد بارشهای سنگین در بریتانیا ارائه کردند. ایشان بیشینه سالانه بارش ۱، ۲، ۵، ۱۰ روزه در

1- Ng

2- Wigley

3- Brooks and Stensrud

4- Haylock and Nicholls

5- Fowler



دورا 1961 و برای نه ناحیه اقلیمی پادشاهی بریتانیا را بررسی نمودند. نتایج مطالعه ایشان نشان داد که تغییرات زمانی بارش 1، 2، 5 و ده روزه به وسیله گشتاورهای L و Brasisas فیلتر ده ساله دوره 1971198Q19611970 و 19942000 حاصل گردید. تغییرات رخ داده طی دور 19612000 را میتوان به دو گروه طبقه بندی نمود: تغییر ناچیز در تداوم 1 تا 2 روزه رخ داد. اما در تداوم 5 تا 10 روزه تغییرات معنیداری اتفاق افتاده است. در جنوب پادشاهی بریتانیا بیشینه 5 و 10 روزه طی دهه 90 کاهش یافته است.

سن روی<sup>3</sup> (3453552009) نیز به تحلیل مکانی بارشهای فرین ساعتی طی 1980<sup>4</sup> و 2002<sup>5</sup> را برای فصول زمستان، تابستان های خشک و تابستان های مرطوب هند بررسی نمود. نتایج تحقیق وی گویای روند افزایشی بارش های سنگین در نواحی مرتفع هیمالیا به ویژه در شمال غربی و دامنه هیمالیا از جنوب تا حوضه ایندوس - گنگ بوده است. در زمستان عموماً روند منفی ولی برای فصول خشک و مرطوب تابستان روند مثبت بود. در امتداد ساحل غربی روند کاهشی رخ داده است. در حالی که بخش شمالي ساحل روند افزایشی بارش فرین مشاهده شده است. بیش تر فلات دکن به سمت جنوب مرکزی منطقه ساحل روند مثبت رخ داده است.

در ایران نیز تحقیقات متعدد و پراکندهای در خصوص بارشهای سنگین انجام شده است. برای مثال تقوی و محمدی<sup>6</sup> (2011,1386) روند و دوره بازگشت نمایههای فرین را برای ایستگاههای نمونه کشور و طی ده سال بررسی نمودند. ایشان دریافتند که دوره بازگشت نمایههای گرم، سرد و بارشی طولانیتر شده و فراوانی رخداد نمایههای سرد کمتر شده است. همچنین عسکری و همکاران<sup>7</sup> (5542,1386) نمایههای بارشهای فرین را در 27 ایستگاه همدید کشور و براساس بارشهای روزانه بررسی نمودند. براساس تحقیق ایشان معلوم شد که هر سه حالت ایستا، روند مثبت و منفی بر نمایههای مورد بررسی حاکم است. در این تحقیق ایستگاه زنجان به تفصیل بررسی نشد. تنها معادله خط بارشهای بیش از صد کهای 95,90 و 99 ارائه شده است. یکی از این تحقیقات که در نوع خود از برتری



ویژهای برخوردار است، تحقیق محمدی (1388) در باره بارشهای ابر سنگین ایران است. وی صد بارش سنگین و فراگیر ایران را از لحاظ همیدید - پویشی مورد بررسی و تحلیل قرار داد. مسعودیان (1387) نیز بارشهای ابرسنگین ایران با استفاده از 351 ایستگاه و براساس آمار روزانه 64 بارش با حداقل 100 میلی متر با استفاده از رویکرد محیطی گردشی و به روش همیدید طبقه‌بندی و الگوسازی نمود. رحیم زاده و همکاران (329343, 2009) نیز فرین‌های دما و بارش را به عنوان شاخص تغییرات اقلیمی ایران بررسی کردند. در این بررسی تنها از 27 ایستگاه سینوپتیک بهره گرفته شد و برای هر ایستگاه 27 شاخص اقلیمی بررسی گردید. طبق یافته‌های ایشان برای دو سوم کشور مجموع بارش روند منفی، شاخص شدت بارش روند مثبت در نیمه شمالی و بعضًا منفی دیده شد. بارشهای حاصل از صد ک 95 در شرق و غرب روند منفی و در مرکز روند مثبت داشته و بارشهای حاصل از صد ک 99 در بیشتر مناطق با روند منفی مشخص می‌شد.

نتیجه تحقیقات کارل<sup>۱</sup> و همکاران (1995-2006) نشان میدهد که این بارشهای از الگوی زمانی - مکانی متنوعی برخوردارند. گاهی در یک محدوده جغرافیایی، برای مثال در یک کشور، انواع رفتار از این نوع بارش‌ها مشاهده شده است. بنابراین ردیابی این رویدادها در جای جای کشور پهناور ما که از تنوع و تباين اقلیمی قابل توجه و غیرقابل انکاری برخوردار است، ضرورتی اجتنابناپذیر است.

### روشها

در این تحقیق از آمار روزانه بارش شهر زنجان طی دوره 1961-2006 مورد تحلیل قرار گرفته است. در ابتدا بیشینه بارش و مجموع پنج بارش بزرگ برای هر سال و برای ماههای مختلف استخراج گردید. بدین ترتیب دو سری زمانی سالانه و 24 سری زمانی ماهانه شامل 12 سری زمانی مربوط به بارشهای بیشینه و 12 سری زمانی شامل پنج بارش سالانه به دست آمد. سپس روند این مشاهدات برآورد شد. علت انتخاب یک نقطه برای این مطالعه، اولاً ارائه یک روش علمی برای تحقیقاتی از این قبیل است. دوم این که بسیاری از رویدادهای



فرین اقلیمی، نظیر دماها یا بارش های فرین حاصل رویدادهای محلی است. از این رو مطالعه نقطه‌های آن قادر است تصویری روش از برهم کنش یک محل بر بارش ارائه نماید.

به منظور تحلیل روند از الگوهای رگرسیون خطی بهره گرفته شد. در این الگو فرض براین است که سریهای زمانی حاوی روند خطی هستند. اگرچه این فرض همیشه صادق نیست اما قادر است تصویری هرچند کلی از رفتار سریهای زمانی ارائه نماید. الگوی رگرسیون خطی یک سری زمانی به صورت زیر بیان میشود:

$$Z_T = a + bT + e_T \quad (1)$$

در اینجا  $Z_T$  سری زمانی مورد نظر (در اینجا بارش سالانه - ماهانه و سری زمانی مجموع پنج بارش بزرگ هرسال - ماه)،  $T$  زمان ( $T = 1, 2, \dots, n$  در اینجا شماره سال)،  $a$  عرض از مبدأ،  $b$  شیب خط (تغییر به ازای زمان) و  $e_T$  خطای (باقیمانده یا انحراف) های برآورده خوانده میشود.  $a$  و  $b$  را ضرایب رگرسیون گویند. این الگو به منظور تصویر تغییرات تدریجی، خطی راست از میان دادهها برآش میدهد. مقدار  $b$  متوسط تغییر به ازای هر واحد زمانی (روند) را نشان میدهد (کرایر 38, 1378).

تنوع روش‌های برآورد  $a$  و  $b$  موجب تکوین الگوهای رگرسیونی متفاوتی شده است. عساکر 1387 با آزمون چند رویه برآورد این فراسنجه، پیشنهاد نموده برای بررسی روند عناصر اقلیمی از رویه‌ای موسوم به روش ناپارامتریک<sup>1</sup> استفاده شود. رویه مزبور، آزمون و صلاحیت آن محرز شد. از اینرو در مطالعه حاضر به کار گرفته خواهد شد. برای محاسبه شیب خط رگرسیون براساس روش ناپارامتری که گاه به روش «سن» موسوم است، شیب تمام زوجهای ممکن ( $b_{ij} = \frac{Z_i - Z_j}{T_i - T_j}$ ) محاسبه و میانه این شیبها به عنوان شیب سری زمانی به شمار می‌آید. یعنی (بیزکس و دوچ 73, 1379):

$$b = \text{median} \frac{Z_i - Z_j}{T_i - T_j} \quad (2)$$

برای تشکیل آماره آزمون مراحل زیر ضروری است:

1- محاسبه  $SE(U)$  به صورت زیر (همان، 78):

$$SE(U) = \sqrt{\frac{n(n+1)}{12} \sum_{i=1}^n (T_i - \bar{T})^2} \quad (3)$$

2- منظور کردن رتبه هریک از متغیرها ( $rank(Z_i)$ ) در آماره  $U$  (همان، 78)

$$U = \sum_{i=1}^n [rank(Z_i) - \frac{n+1}{2}]T_i \quad (4)$$

3- محاسبه آماره آزمون  $t$  براساس قدر مطلق  $U$  (| $U$ |) و آماره  $SE(U)$  (همان، 78):

$$|t| = \frac{|U|}{SE(U)} \quad (5)$$

این آماره دارای توزیع تقریبی  $t$  با  $n-2$  درجه آزادی است. فاصله اطمینان میانه در داده‌های مرتب شده نیز به شکل زیر قابل محاسبه است (همان، 78):

$$[\frac{n+1}{2}] \pm [1.96 \frac{\sqrt{n}}{2}] \quad (6)$$

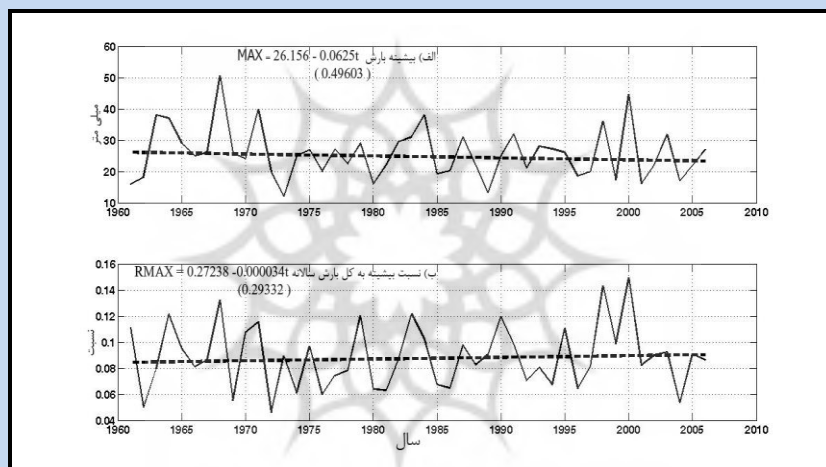
مقدار  $a$  در روش ناپارامتری به شکل زیر برآورد می‌شود (همان، 78):

$$a = \text{median}(Z_T - bT_i) \quad (7)$$

نتایج و بحث

بارشهای بیشینه

بارشهای بیشینه، بزرگترین بارش در هر دوره زمانی (برای مثال در هر سال) را گویند. هر چند این بارش به عنوان یک سری زمانی جزیی به شمار می‌آید اما تصویری کلی از رفتار بارشهای سنگین ارائه نماید. بزرگترین بیشینه بارش سالانه، 506 میلیمتر در تاریخ 1968/25 (صادف با 134/3/4) و کوچکترین بیشینه سالانه در تاریخ 1973/4 (برابر با 135/4/19) معادل 12 میلیمتر رخ داده است. میانگین بیشینه بارش برابر با 258 میلیمتر است. شکل ۱ الف تغییرات زمانی بارش بیشینه را برای هر سال نشان میدهد.

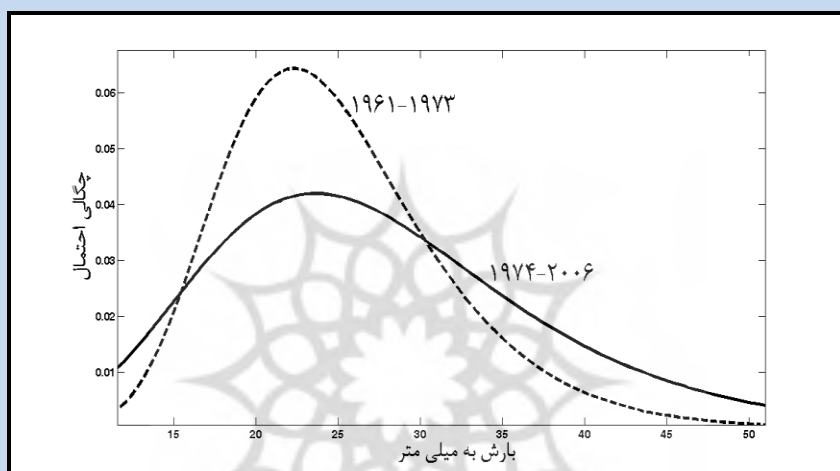


شکل شماره (۱) مشخصات بارشهای بیشینه در زنجان

همانگونه که در شکل دیده می‌شود، الگوی رفتاری این مشخصه از بارش در سالهای نخستین دوره آماری با مقادیر و افت و خیزهای بزرگ قابل مشاهده است. در انتهای دوره آماری افت و خیزها با شدت کمتر به موقع پیوسته‌اند. در بین سالهای 1973 تا 1998 علاوه بر کاهش شدت افت و خیزها، مقادیر نیز کم شده‌اند. بنابراین یک تمایز زمانی از لحاظ میزان بارش بیشینه در دوره ۱964-1973 و دوره ۲006-۲0۰۷ دیده می‌شود.



به منظور بررسی تفاوت‌های بیشینه بارشی، مدل توزیع فراوانی مقادیر فرین تعمیم یافته ( $GEV$ )<sup>۱</sup> بر بارش‌های بیشینه سالهای پیشین (۱۹۶۱-۱۹۷۳ به مدت ۱۲ سال) و پسین (۱۹۷۴-۲۰۰۶) برآش یافت. شکل ۲ مدل‌های برآش یافته بر این دو سری زمانی را نشان میدهد. فراسنجهای توزیع این دوره در جدول ۱ ارائه شده است.



شکل شماره ۲) مدل برآزنده مقادیر فرین تعمیمیافته ( $GEV$ ) بارش بیشینه در دو فاز بارشی زنجان

بر اساس شکل ۲ و از مقایسه فراسنجهای شکل دو دوره میتوان استنباط نمود که دنباله توزیع فراوانی بارش‌های دوره پیشین (۱۹۶۱-۱۹۷۳) سریعتر به صفر همگرا میشده‌اند. به عبارت دیگر فراوانی بارش‌های بزرگ کمتر بوده‌اند. با این وصف مقایسه فراسنجهای موقعیت نشان میدهد که در دوره پیشین علیرغم کوتاه‌تر بودن طول دوره نسبت به دوره پسین، متوسط بارش بالاتر از متوسط بارش در دوره پسین است.

جدول شماره (۱) فراسنجهای توزیع فراوانی بارش بیشینه در دو فاز بارشی زنجان

فراسنج مقیاس ( $\delta$ )	فراسنج موقعیت ( $\mu$ )	فراسنج شکل ( $k$ )	دوره
231336	87772	-0.0565	1961-1973

1- Generalized Extreme Values

219670	57254	-00603	دوره 2006-1974
--------	-------	--------	----------------

مقایسه فراسنچ مقیاس گویای کشیدگی افزونتر بارشهای بیشینه در دوره پسین است. بنابراین در این دوره بارشهای شدید اما با فراوانی کم رخ میدادهند. در حالی که دوره پسین بارشهای کم شدت اما با فراوانی بیشتر را تجربه نموده است. در واقع کوچکتر بودن فراسنچ مقیاس در دوره دوم (1974-2006) گویای نزدیکتر بودن کشیدگی توزیع مشاهدات فرین به توزیع نرمال است. از اینرو کاهش شدت و فراوانی فرینها در این دوره گواهی برای واقعیت است که توزیع فراوانی دوره دوم در قیاس با توزیع فراوانی بارشهای بیشینه طافت و خیزهای کمتری رخ میداده است. بنابراین میتوان کاهش مقادیر بیشینه را از این رویه نیز استنباط نمود.

همانگونه که در شکل 1 نیز دیده میشود، عموماً روند بلندمدت بیشینه بارش سالانه به میزان حدود 0/06 میلیمتر در سال کاسته میشده است. با این وصف کاهش مزبور به لحاظ آماری م-عنیدار نیست (اعداد داخل پرانتز آماره  $t$  برای معنیداری روند را نشان میدهد). شاید این فقدان معنی آماری به دلیل سرشکن شدن روند به وسیله افت و خیزها در طول سری و بهویژه در دو نیم دوره مورد بحث باشد. بدین دلیل روند در دو نیم دوره نیز آزمون گردید اما هیچ رفتار معنیداری در مشاهدات رویت نشد.

نسبت بارشهای بیشینه به کل بارش سالانه، حاصل تقسیم بارشهای بیشینه بر مجموع بارش سالانه است. این نسبت ضمن بیان سهم بارش بیشینه در کل بارش سالانه میتواند تمرکز یا توزیع بارش را در هر سال نشان دهد. تغییرات زمانی این شاخص در شکل 1 ب ارائه شده است. میانگین این نسبت طی دوره آماری حدود 0/089 است. به عبارت دیگر، بهطور متوسط نزدیک به 9 درصد میانگین بارش هرسال دریک بار بارندگی رخ میدهد. بیشترین نسبت مزبور در سال 2001 حدود 0/1496 رخ داده است. یعنی حدود 1496 درصد بارشهای سال 2001 از یک بارش حاصل شده است. این سال نه تنها به طور نسبی یک سال کم باران بوده (مجموع بارش سالانه 2981 میلیمتر ثبت شده است)، بلکه بارش بیشینه آن 446 میلیمتر) نیز به طور نسبی زیاد بوده است.



دیده میشود که الگوی حاکم ب بر بارشهای بی‌پیشینه (شکل ۱ الف) یعنی فروزنی بارشهای بی‌پیشینه و م-جمعو بارش زیاد طی فازهای نخستین در شکل ۱ ب مشاهده نمیشوند. چرا که در سالهای پرباران پیشین، بارشهای بی‌پیشینه نیز زیاد و در سالهای کم باران پسین، بارش کم بوده است. از این‌رو نسبت آنها علیرغم افت و خیزهای جزیی، ثابت باقی میماند است. بدین ترتیب میتوان استنباط نمود که در سالهای پربارش، بزرگی بارشهای بی‌پیشینه نیز افزایش یافته و نیز به تبع آن نسبت آنها ثابت خواهد ماند. بدین دلیل رفتار بلندمدت این نسبت ثابت و تقریباً فاقد تغییر معنیداری است. علاوه بر این میتوان استنباط نمود در سالهای پرباران، تک بارشها نقش عمده‌ای در بالا بردن میزان بارشهای سالانه ایفا میکنند.

به منظور بررسی توزیع ماهانه بارشهای سنگین، تمامی عملیات محاسباتی که بر بارشهای روزانه برای هر سال انجام شد، بر داده‌های روزانه در هر یک از ماههای سال و در طول دوره آماری انجام گرفت. از آنجا که نمایش ترسیمی وضعیت بارشهای سنگین برای هر یک از ماهها موجب فروزنی حجم نوشته حاضر شده، نیز قابلیت تحلیلی نوشتار کاهش یافته و همچنین به منظور رعایت ایجاز، نتایج تمامی محاسبات به جای نمودار در جدول ۲ ارائه شده است:

به منظور ارائه وضعیت توزیع ماهانه بارش بی‌پیشینه و برای ارائه نقش نسبی آن، میانگین و نسبت بارش بی‌پیشینه برای هر ماه در جدول ۲ ارائه شده است. ردیف دوم جدول، میانگین بارش بی‌پیشینه را برای هر ماه نشان می‌دهد. ردیف سوم بی‌پیشینه بارش رخ داده در هر ماه و ردیف چهارم نسبت بارش بی‌پیشینه به میانگین بارش هر ماه را ارائه مینماید. دو ردیف آخر نیز به مشخصات روند (شیب خط) بی‌پیشینه بارش و آماره  $t$  آن اختصاص دارد.

همانگونه که دیده میشود، بزرگترین بارشهای بی‌پیشینه به ترتیب در ماههای می، مارس و فوریه رخ داده است. نسبت بزرگترين بارش رخ داده به میانگین بزرگترین بارشهای این ماهها بـ $h$  ترتیب  $h = \frac{3}{2}$ ،  $\frac{3}{3}$  و  $\frac{3}{5}$  برابر بوده است. با این وصف از آنجا که بزرگترین میانگینهای بارش بی‌پیشینه در ماه آوریل به دست آمده است، میتوان



استنباط نمود که بارشهای بیشینه بزرگ در ماه آوریل بیشتر مورد انتظار است.  
چه، تک بارشهای بیشینه سه ماه یاد شده در زمرة بارشهای اتفاقی به شمار می‌آیند.





جدول شماره ۲) توزیع ماهانه مشخصات بارش‌های بیشینه در زنجان

دسامبر	نومبر	اکتبر	سپتامبر	اگوست	جولای	جون	می	آوریل	مارس	فوریه	زانویه	
107	112	9	2/4	2/6	3/3	4/7	149	169	138	114	114	میانگین
32	38	31	26	141	20	25	506	38	446	40	27	بیشینه بارش
3/4	3/4	3/4	108	5/4	6/1	5/3	3/3	2/2	3/2	3/5	2/4	نسبت به میانگین
0	0	0	0	0	0	0	0	0	0/07	-0/09	-0/06	رونده
-	-	-	-	-	-	-	-	-	1/1	0/99	0/9	آماره $t$

کمترین بیشینه بارش مربوط به ماه اگوست (141 میلیمتر) است. علی‌رغم کوچکی این بیشینه بارش، مقدار آن نسبت به متوسط بیشینه‌های این ماه (حدود ۵/۴ برابر) بسیار زیاد است. ماههایی که بیشینه بارشی بیش از میانگین بیشینه‌ها دریافت میداشته‌اند معمولاً در اواسط تابستان و اوایل پاییز متتمرکز شده‌اند. ماه سپتامبر از این لحاظ در صدر ماههای واقع شده است. از این رو ماههای مزبور و به ویژه ماه سپتامبر ناهنجارترین بارش بیشینه را دریافت داشته است. در حالی که بیشینه‌های مربوط به ماههای فصل بهار و زمستان از متوسط بیشینه‌های این ماهها فاصله نسبی کوچکتری دارند. این امر گویای تصادفی بودن بیشینه‌های بالا در تابستان و رایج بودن مقادیر بزرگ در ماههای فصل بهار و زمستان است.

پنجمین ردیف از جدول ۲، میزان روند سال به سال بیشینه بارش را برای هر ماه نشان میدهد. چنان که دیده می‌شود، تنها در سه ماه زانویه، فوریه و مارس روند بسیار ناچیزی با علامتهای مختلف (برای دوماه اول منفی و برای ماه مارس مثبت) دیده می‌شود. با این وصف هیچ یک از این سه ماه در سطح 95 درصد اطمینان روند معنیداری را تجربه نکرده‌اند (به آماره  $t$  در ردیف ششم جدول ۲ نگاه کنید). در صورتی که مقدار آماره  $t$  برابر با بزرگتر از 1/96 باشد، در سطح اعتماد 95 درصد میتوان معنیداری روند را استنباط نمود.

## پنج بارش بزرگ

در بسیاری از تحقیقات اقلیم‌شناسخنی و نیز بر اساس رویه به کار رفته در کمیته مشترک اقلیم‌شناسی سازمان جهانی هواشناسی (CCL)<sup>۱</sup> برنامه پژوهش در اقلیم جهان (WCRR)<sup>۲</sup> مربوط به پروژه قابلیت پیش‌بینی و تغییرپذیری اقلیم (CLIVAR)<sup>۳</sup> مشکل از گروه متخصصان پیش‌بینی، پایش و نمایه‌های تغییر اقلیم (ETCCDMI)<sup>۴</sup>، مجموع بارندگی حاصل از ۵ بارش بزرگ در هر سال یک شاخص مناسب برای مطالعه بارش‌های سنگین به شمار می‌آید. در تحقیق حاضر مجموع پنج بارش بزرگ برای هر سال محاسبه شده است. به منظور تکوین تصویری کلی از وضعیت ۵ بارش بزرگ در ایستگاه زنجان و مقایسه شرایط رخداد با این تصویر کلی، برخی ویژگیهای آماری آن برآورد شد. برای مثال متوسط ۵ بارش بزرگ برای هر سال حدود ۸۹۰۳ میلیمتر است. بزرگترین رویداد ۵ بارش بزرگ مربوط به سال ۱۹۸۵ برابر ۱۳۲۴ میلیمتر و کمترین ۵ بارش بزرگ مربوط به سال ۱۹۷۴ برابر با ۴۰ میلیمتر بارندگی می‌باشد.

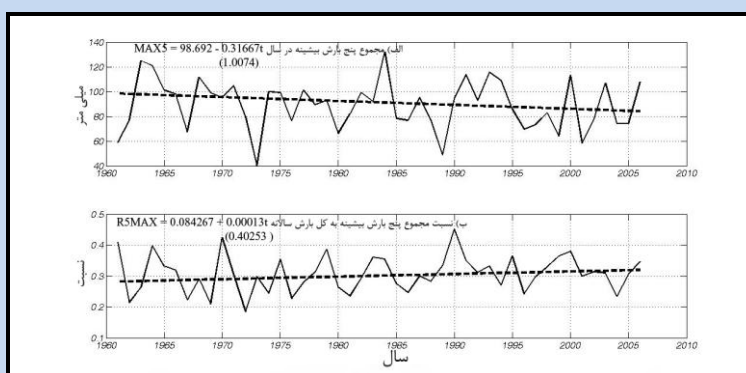
تعییرات زمانی ۵ بارش بزرگ هر سال در شکل ۳ الف ارائه شده است. دیده می‌شود که روند بلندمدت این مشخصه گویای این است که مجموع پنج بارش بزرگ هر سال بهطور متوسط حدود ۰/۳ میلیمتر در هر سال کاهش داشته است. هر چند برای یک دوره آماری طولانی این عدد یک رقم قابل توجه است، اما فاقد معنی آماری است. در آخرین دهه و نیز بعد از دهه ۱۹۷۰ تا اوایل دهه ۱۹۸۰ نوعی ایستایی بر این بارشها حاکم شده است.

1- The Joint World Meteorological Organization Commission for Climatology

2- World Climate Research Program

3- Climate Variability and Predictability

4- Expert Team on Climatic Change Detection, Monitoring and Indices



شکل ۲) تغییرات زمانی پنج بارش بزرگ در زنجان

شکل ۳ ب سهم پنج بارش بزرگ در مجموع بارش سالانه را نشان میدهد. سهم ۵ بارش بزرگ در مجموع بارش سالانه به طور متوسط حدود ۰/۳۱ است. یعنی بهطور متوسط حدود ۳۱ درصد از بارش هر سال در ۵ بار بارندگی حاصل میگردد. بیشترین سهم ۵ بارش بزرگ در مجموع بارش سالانه مربوط به سال ۱۹۹۰ برابر ۰/۴۵۲۲ و کمترین سهم ۵ بارش بزرگ در مجموع بارش سالانه مربوط به سال ۱۹۷۲ برابر ۰/۱۸۴۶ بوده است. با وجود شبیه خط مثبت ۰/۰۰۰۸ عموماً روند معنیداری بر این مشخصه حاکم نمیباشد.

توزیع ماهانه مشخصات بارش حاصل از ۵ بارش بزرگ در جدول ۳ ارائه شده است. در ردیف دوم این جدول، متوسط مجموع بارش حاصل از پنج بارش بزرگ ارائه شده است. دیده میشود که آوریل، می و مارس به ترتیب بیشترین میانگین پنج بارش بزرگ را در خود جای داده‌اند. چنان‌که در جدول ۲ نیز دیدیم، میانگین بارش بیشینه در این سه ماه در زمرة مقادیر بزرگ بوده‌اند. وجود پنج بارش بزرگ در این ماهها نیز شاهدی دیگر بر فراوانی بیشتر این نوع بارشها در ماههای فصل بهار است. در حالی که مقادیر حاصل از پنج بارش طی چهار ماه جون تا سپتامبر تفاوت چشمگیری با متوسط بیشینه بارش (جدول ۲ ردیف اول) نشان نمیدهد. این وضعیت تلخی دیگر بر این ادعای است که بیشینه بارش در ماههای مذکور بسیار تصادفی بوده، این بارشها تفاوت قابل توجهی با شرایط بهنجهار داشته‌اند. چرا که افزون شدن بارش‌های بزرگ دیگر، تغییر قابل توجهی بر بیشینه‌های بارش به جا نمیگذارد.

جدول (۹) توزیع ماهانه مشخصات پنج بارش بیشینه در زنجان

دسامبر	نومبر	اکتبر	سپتامبر	اگوست	جولای	جون	می	آوریل	مارس	فوریه	ژانویه	جمع بارش
25	263	203	3/4	3/7	5/7	7/5	36	43	352	26	272	مجموع
-002	012	0	0	0	0	0	-01	-025	002	-02	-022	رونده
016	04						02	1/02	011	1/3	1/7	آماره t

روند بلندمدت تغییرات پنج بارش بزرگ در ردیف سوم جدول ۳ ارائه شده است. دیده میشود که تغییرات بلندمدت پنج بارش بزرگ در ماههای ژانویه، فوریه، آوریل، می و دسامبر کاهشی، در ماههای مارس و نومبر افزایشی و در دیگر ماهها برابر صفر است. بنابراین جمع جبری تغییرات، گویای غلبه روند کاهشی پنج بارش بزرگ میباشد. با این وصف آماره t نیز نشان میدهد که هیچ یک از این تغییرات معنیدار نیست.

### نتیجه‌گیری

به منظور برنامهرکنی، طراحی، ع سمل و مدیریت منابع آب میبایست شناخت کافی از ویژگیهای بارش بویژه بارشهای سنگین حاصل نمود. بارشهای سنگین ابعاد مختلف قابل مطالعه است. دو بعد از مشخصات بارشهای سنگین از بارشهای بیشینه و پنج بارش بزرگ در هر سال قابل شناسایی است. شناخت این دو بعد از اهمیت عملی و علمی بسیار زیادی برخوردارند.

به منظور تحلیل بارشهای سنگین زنجان، بارشهای روزانه زنجان طی دوره آماری 1961-2006 استخراج و در مقیاس سالانه و ماهانه بررسی گردید. روند مجموع بارش بیشینه هر سال - سهم آن دربارش سالانه و مجموع پنج بارش بزرگ - و سهم آن در مجموع بارش هر سال بر اساس روش های ناپارامتری برآورد گردید. نتایج تحقیق نشان داد که مشاهدات مورد بررسی در طول دوره آماری و در دو مقیاس سالانه - ماهانه فاقد روند معنیدار هستند. اما بارش بیشینه با دو فاز پر افت و خیز در دوره 1961-1973 و کم افت و خیز در دوره 1974-2006 مشخص میشود.

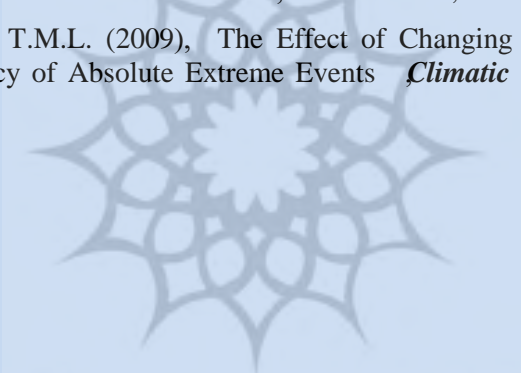


## منابع

- 1- بیزکس، داوید و دوج. یادالله (۱۳۷۹)، «روشهای جایگزین در رگرسیون»، ترجمه آذرنوش، حسنعلی مشهد: انتشارات دانشگاه فردوسی مشهد، ۲۶۷ صفحه.
- 2- تقوی، فرhanaz و محمدی، حسین (۱۳۸۶)، «بررسی دوره بازگشت رویدادهای اقلیمی حدی به منظور شناخت پیامدهای زیستمحیطی»، *مجله محیطشناسی*، سال سی و سوم، شماره ۴۳. پاییز ۱۱-۲۰. ۱۳۸۶.
- 3- عساکره، حسین (۱۳۸۷)، «کاربرد رگرسیون خطی در تحلیل روند دمای سالانه تبریز»، *فصلنامه تحقیقات جغرافیایی* شماره ۸۷، زستان ۸۶، صص ۲۶۳.
- 4- عسکری، احمد؛ رحیمزاده، فاطمه؛ محمدیان، نوشین. و فتاحی، ابراهیم (۱۳۸۶)، «تحلیل روند نمایندهای بارشی‌های حدی در ایران»، *مجله تحقیقات منابع آب ایران*، سال سوم شماره ۳، شماره پیاپی ۹، زمستان ۱۳۸۶، صص ۵۵-۴۲.
- 5- کرایر، جاناتان، ترجمه حسینعلی نیرومند (۱۳۸۷)، «تجزیه و تحلیل سریهای زمانی»، انتشارات دانشگاه فردوسی مشهد ۴۰۴ صفحه.
- 6- محمدی، بختیار (۱۳۸۸)، «تحلیل همدید بارش‌های ابرسنگین ایران»، رساله دکتری اقلیم‌شناسی، دانشکده ادبیات و علوم انسانی، دانشگاه اصفهان ۲۰۰ صفحه.
- 7- مسعودیان، سیدابوالفضل (۱۳۸۷)، «شناختی شرایط همدید همراه با بارشی‌های ابرسنگین ایران»، سومین کنفرانس مدیریت منابع آب ایران دانشگاه تبریز ۲۳ الی ۲۵ مهرماه ۱۳۸۷.
- 8- Brooks. Harold. E. and Stensrud, David. J., (2000), Climatology of Heavy Rain Events in United States from Hourly Precipitation Observations *Monthly Weather Review*, Vol. 128: 1194-1201.
- 9- Fowler. H.J., EK. Strom, M, Kilsby, C.G. and Jones, (2005), New Estimates of Future Changes in Extreme Rainfall across the UK Using Regional Climate Model Integrations , 1: Assessment of Control Climate, *Journal of Climatology*, 300:212-233.
- 10- Haylock. Malcolm and Nicholls, Neville. (2000), Trend in Extreme Rainfall Indices for an Updated High Quality Data set for Australia , 1910-1998, *Int. J. Climatol*, 20: 1533-1541.



- 
- 
- 11- Karl, T.R., R.W. Knight and N. Plummer, (1995), Trends in High-Frequency Climate Variability in the Twentieth Century *Nature*, 377, 217-220.
  - 12- Ng. W.W, Panu. U.S. and Lennox. W.C. (2007), Chaos Based Analytical Techniques for Daily Extreme Hydrological Observations *Journal of Hydrology*, 342, 17-41
  - 13- Rahimzadeh, Fatemeh, Asgari, Ahmad and Fattah, Ebrahim, (2009), Variability of Extreme Temperature and Precipitation in Iran during Recent Decades *Int. J. Climatol*, 29: 329-343
  - 14- SenRoy.Shouraseni (2009), A Spatial Analysis of Extreme Hourly Precipitation Patterns in India *Int.J. Climatol*, 29: 345-355.
  - 15- Wigley, T.M.L. (2009), The Effect of Changing Climate on the Frequency of Absolute Extreme Events *Climatic Change*, 97:67-76.



پژوهشگاه علوم انسانی و مطالعات فرهنگی  
پرستال جامع علوم انسانی